

## Über die Streuung von Elektronen an Protonen in zweiter Bornscher Näherung bei Einfalls- energien von etwa 100 MeV

Von GÜNTHER MEYER

Institut für Struktur der Materie der Universität Marburg  
(Z. Naturforsch. 15 a, 548 [1960]; eingegangen am 14. April 1960)

Im Rahmen der Theorie der quantisierten Felder wurden im Anschluß an grundlegende Arbeiten von FEYNMANN<sup>1, 2</sup> und DYSON<sup>3</sup> die Matrixelemente zu den Diagrammen (s. Abb. 1) berechnet. Während in der ersten Bornschen Näherung die durch das geladene Mesonfeld verursachte elektrodynamische Struktur des Protons wesentlich ist<sup>4</sup> (sie liefert bei den hier betrachteten Energien eine Korrektur von etwa 10% an die Punktprotonformel<sup>5</sup>), kann diese Struktur hingegen in dem

$$\delta = \frac{\alpha}{\pi P_1} \left[ \frac{V a P_2}{P_5^{3/2}} G - a \pi^2 (1 + a \eta) + a (P_3 \varphi - P_4 \varphi') \right. \\ \left. + \frac{1}{2} a \eta (2 + a \eta) \log^2 \frac{a}{2(1 + a \eta)} - \log(1 + a \eta) \left( 4 P_1 \log \lambda \eta + 4 \log \frac{a}{1 + a \eta} - a P_4 \log \frac{2 a}{(1 + a \eta)^2} \right) \right. \\ \left. + \frac{\eta^3 a^2 (2 + a \eta)}{P_5} \log 2 \Delta \eta + 2 \eta^2 a (a - 1) \right]$$

Korrekturterm der zweiten Bornschen Näherung vernachlässigt werden. Das Proton wird daher genau wie das Elektron durch ein DIRACsches Spinorfeld beschrieben. Unter dieser vereinfachenden Voraussetzung läßt sich die Rechnung noch in geschlossener Form durchführen. Für den Streuquerschnitt ergibt sich

$$\frac{d\sigma}{d\Omega} = \left( \frac{d\sigma}{d\Omega} \right)_0 (1 + \delta),$$

wobei  $(d\sigma/d\Omega)_0$  der Streuquerschnitt in erster Bornscher Näherung ist. Man erhält in der Näherung  $\lambda \eta \cos \vartheta/2 \gg 1$  für die Korrektur:

$$u, v = \sqrt{\Delta \eta (\Delta \eta + 2)} \mp \Delta \eta, \\ \varphi = -\log(2 \eta) \log(1 + 2 \eta) - \Phi(-2 \eta), \\ \varphi' = -\log(2 \eta_2) \log |1 - 2 \eta_2| - \Phi(2 \eta_2), \\ P_1 = (1 + a \eta)(2 - a) + (a \eta)^2, \\ P_2 = 4 + a \eta (10 + 8 \eta) + (a \eta)^2 (8 + 12 \eta + 2 \eta^2) \\ + (a \eta)^3 (2 + 4 \eta + \eta^2), \\ P_3 = 1 + 2 \eta + a \eta (1 + \eta), \\ P_4 = 1 - 2 \eta + a \eta (1 - \eta), \quad P_5 = 2 + a \eta (2 + \eta).$$

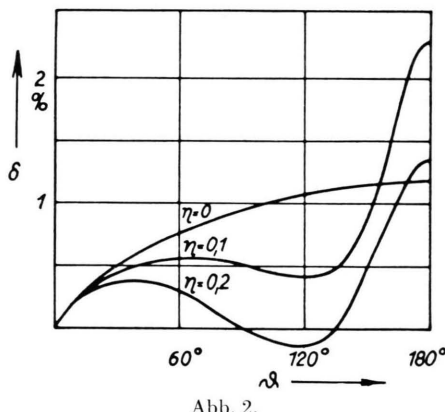


Abb. 2.

Ferner wurden folgende Abkürzungen benutzt:

$$a = 1 - \cos \vartheta, \quad \eta_2 = \frac{\eta}{1 + a \eta}, \quad \Delta \eta = \eta - \eta_2, \\ \Phi(x) = - \int_0^x \frac{\log |1-z|}{z} dz \quad (\text{SPENCE-Funktion } ^2, ^6), \\ G = \log(2 \Delta \eta) \log \left( 1 + \frac{2 \Delta \eta}{u} \right) + \Phi(-v) - \Phi(u) + \pi^2,$$

- <sup>1</sup> R. P. FEYNMAN, Phys. Rev. **76**, 769 [1949].  
<sup>2</sup> L. M. BROWN u. R. P. FEYNMAN, Phys. Rev. **85**, 231 [1952].  
<sup>3</sup> F. I. DYSON, Phys. Rev. **75**, 486 u. 1736 [1949].  
<sup>4</sup> M. N. ROSENBLUTH, Phys. Rev. **79**, 615 [1950].  
<sup>5</sup> R. HOFSTADTER, F. BÜMILLER u. M. R. YEARIAN, Rev. Mod. Phys. **30**, 482 [1958].

<sup>6</sup> K. MITCHELL, Phil. Mag. **40**, 351 [1949].

<sup>7</sup> W. A. MCKINLEY u. H. FESHBACH, Phys. Rev. **74**, 1759 [1948].  
 — R. H. DALITZ, Proc. Roy. Soc., Lond. A **206**, 509 [1951].

<sup>8</sup> J. M. JAUCH u. F. ROHRICH, Helv. Phys. Acta **27**, 613 [1954].

<sup>9</sup> J. SCHWINGER, Phys. Rev. **76**, 790 [1949].

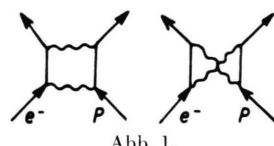


Abb. 1.

Das Ergebnis einer numerischen Auswertung ist im vorstehenden Diagramm dargestellt. Im Grenzfall  $\eta = 0$  ergibt sich eine schon früher von MCKINLEY und FESHBACH<sup>7</sup> hergeleitete Formel. Die Infrarotdivergenzen wurden in der vorstehenden Formel weggelassen, da sie sich exakt mit entsprechenden Infrarotdivergenzen in der Bremsstrahlungsformel aufheben<sup>8</sup>. Zu der hier berechneten Korrektur der zweiten Bornschen Näherung ist noch die SCHWINGERSche Strahlungskorrektur<sup>9</sup> und die Mesonkorrektur von ROSENBLUTH<sup>4</sup> zu addieren. Oberhalb etwa 200 MeV wird die Abweichung von der Punktprotonformel allerdings so groß, daß sie ihren Korrekturcharakter verliert<sup>5</sup>. Diese große Abweichung wird überwiegend durch die Mesonwolke in der Umgebung des Nukleons verursacht. Daher ist die hier gemachte Voraussetzung eines DIRAC-Protons in diesem Energiebereich nicht mehr erfüllt, und die obige Formel verliert ihre Gültigkeit.



Dieses Werk wurde im Jahr 2013 vom Verlag Zeitschrift für Naturforschung in Zusammenarbeit mit der Max-Planck-Gesellschaft zur Förderung der Wissenschaften e.V. digitalisiert und unter folgender Lizenz veröffentlicht: Creative Commons Namensnennung-Keine Bearbeitung 3.0 Deutschland Lizenz.

Zum 01.01.2015 ist eine Anpassung der Lizenzbedingungen (Entfall der Creative Commons Lizenzbedingung „Keine Bearbeitung“) beabsichtigt, um eine Nachnutzung auch im Rahmen zukünftiger wissenschaftlicher Nutzungsformen zu ermöglichen.

This work has been digitized and published in 2013 by Verlag Zeitschrift für Naturforschung in cooperation with the Max Planck Society for the Advancement of Science under a Creative Commons Attribution-NoDerivs 3.0 Germany License.

On 01.01.2015 it is planned to change the License Conditions (the removal of the Creative Commons License condition "no derivative works"). This is to allow reuse in the area of future scientific usage.